



**INSTITUTO NACIONAL DE PESQUISAS ESPACIAIS – INPE/MCT
CENTRO REGIONAL SUL DE PESQUISAS ESPACIAIS – CRSPE/INPE – MCT
OBSERVATÓRIO ESPACIAL DO SUL – OES/CRSPE/INPE – MCT**



**UNIVERSIDADE FEDERAL DE SANTA MARIA – UFSM/MEC
LABORATÓRIO DE CIÊNCIAS ESPACIAIS DE SANTA MARIA –
LACESM/CT/UFSM
PARCERIA: INPE/MCT – UFSM/MEC**

INTERAÇÃO DO PLASMA SOLAR COM O CAMPO MAGNÉTICO TERRESTRE OBSERVADO NA REGIÃO DA ANOMALIA MAGNÉTICA DO ATLÂNTICO SUL NO OBSERVATÓRIO ESPACIAL DO SUL

Autor: Everton Frigo

Orientador: Dr. Nalin Babulal Trivedi

Objetivos

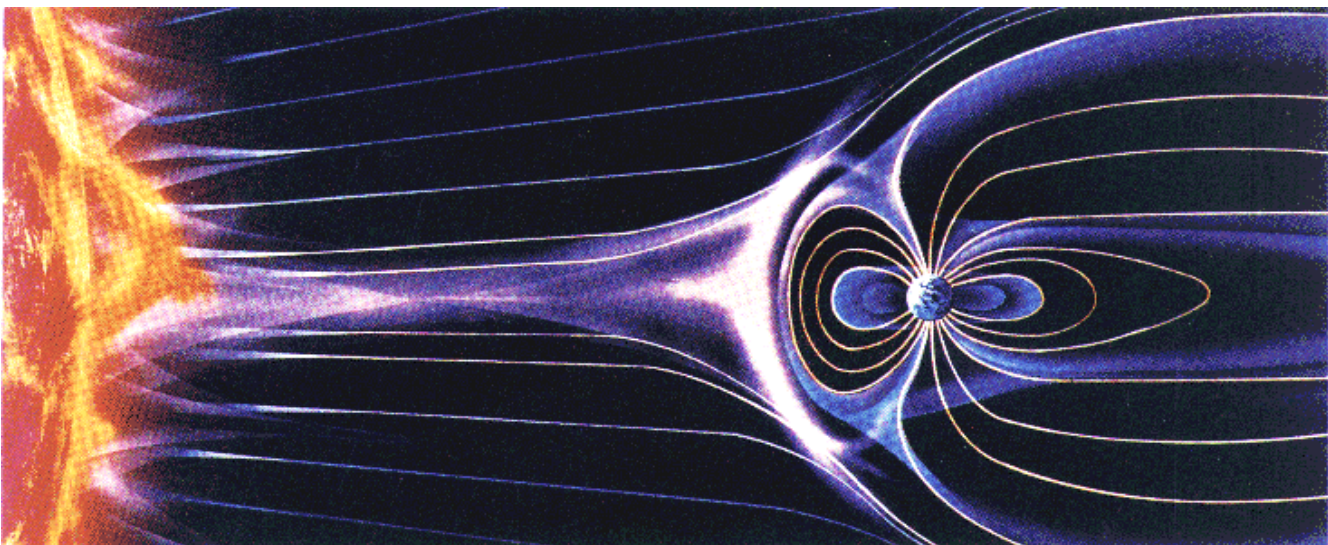
- (1) Realizar medidas geomagnéticas contínuas no Observatório Espacial do Sul, no Observatório Geomagnético de Vassouras, RJ, e no Observatório Espacial de São Luis, MA.**
- (2) Estudar as variações nos parâmetros de plasma solar no meio interplanetário e as variações geomagnéticas registradas nas estações magnéticas do Observatório Espacial do Sul (SMS), em São Martinho da Serra, RS (29.43° S, 53.80° W), no Observatório Geomagnético de Vassouras (VSS), em Vassouras, RJ (22.40° S, 43.65° W) e no Observatório Espacial de São Luis (SLZ), em São Luis, MA (2.6° S, 44.2° W), durante tempestades geomagnéticas.**
- (3) Estudar as correlações existentes entre as variações detectadas nos parâmetros do plasma solar no meio interplanetário e as variações geomagnéticas detectadas na superfície terrestre.**



Tempestades Geomagnéticas



O Campo Magnético Terrestre é gerado por correntes elétricas que fluem no núcleo terrestre. Devido à interação com o plasma emitido continuamente pelo Sol, o Campo Geomagnético sofre uma deformação, como mostra a Figura.



Fonte: <http://www.windows.ucar.edu>

A ocorrência de uma explosão solar pode ocasionar uma tempestade geomagnética.

Neste trabalho, foi utilizado o índice Dst para se fazer a seleção de eventos a serem estudados. Neste índice as tempestades geomagnéticas são agrupadas em três grupos característicos, de acordo com sua intensidade (Gonzalez et. al., 1994) em:

fracas: $-50nT \leq Dst \leq -30nT$

moderadas: $-100nT \leq Dst \leq -50nT$

intensas: $Dst < -100nT$



Eventos estudados e metodologia empregada



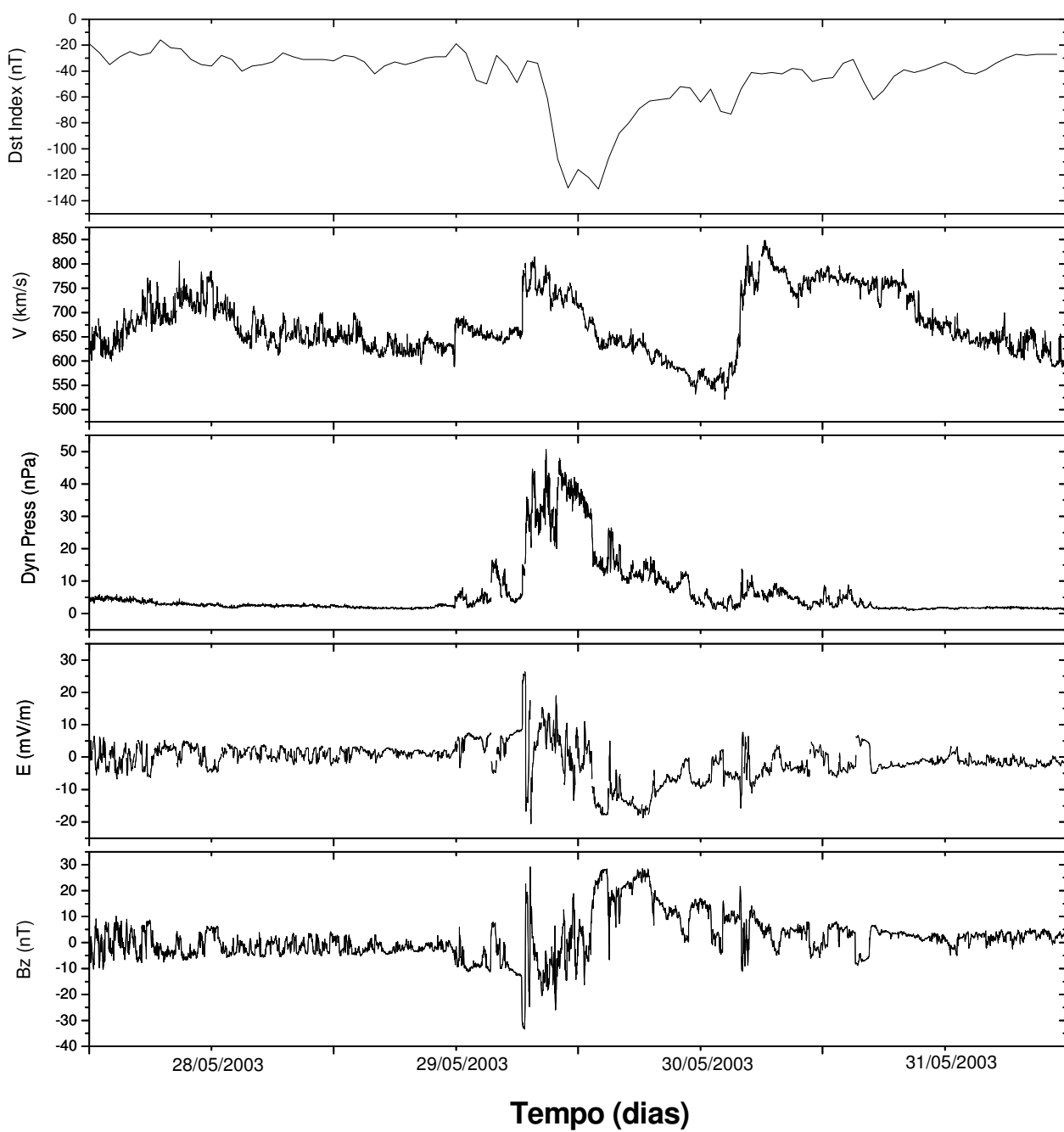
- Neste trabalho foram estudadas as tempestades geomagnéticas ocorridas entre os dias 28 e 31/05/2003 e, 17 e 20/08/2003, 27 e 31/10/2003 e, 03 e 05/11/2003.
- Os dados do plasma solar no meio interplanetário são fornecidos pelo satélite ACE.
- Os dados geomagnéticos de SMS, VSS e SLZ são adquiridos por magnetômetros fluxgate de alta resolução e baixo ruído, com uma taxa de aquisição a cada 2 s, em formato binário e convertidos para o formato ASCII.
- Após, construiu-se os gráficos dos parâmetros do meio interplanetário e das variações geomagnéticas detectadas na superfície terrestre em função do tempo, possibilitando a realização de estudos comparativos.
- Utilizou-se um filtro passa-faixa para selecionar os períodos de atividade mais intensa das micropulsações geomagnéticas.
- Finalmente, foram construídos os gráficos dos parâmetros de polarização das micropulsações geomagnéticas para os períodos de maior atividade das mesmas.



Tempestade Geomagnética ocorrida entre 28 e 31/05/2003



As Figuras a seguir mostram as variações detectadas nos parâmetros do meio interplanetário e no índice Dst entre os dias 28 e 31/05/2003.

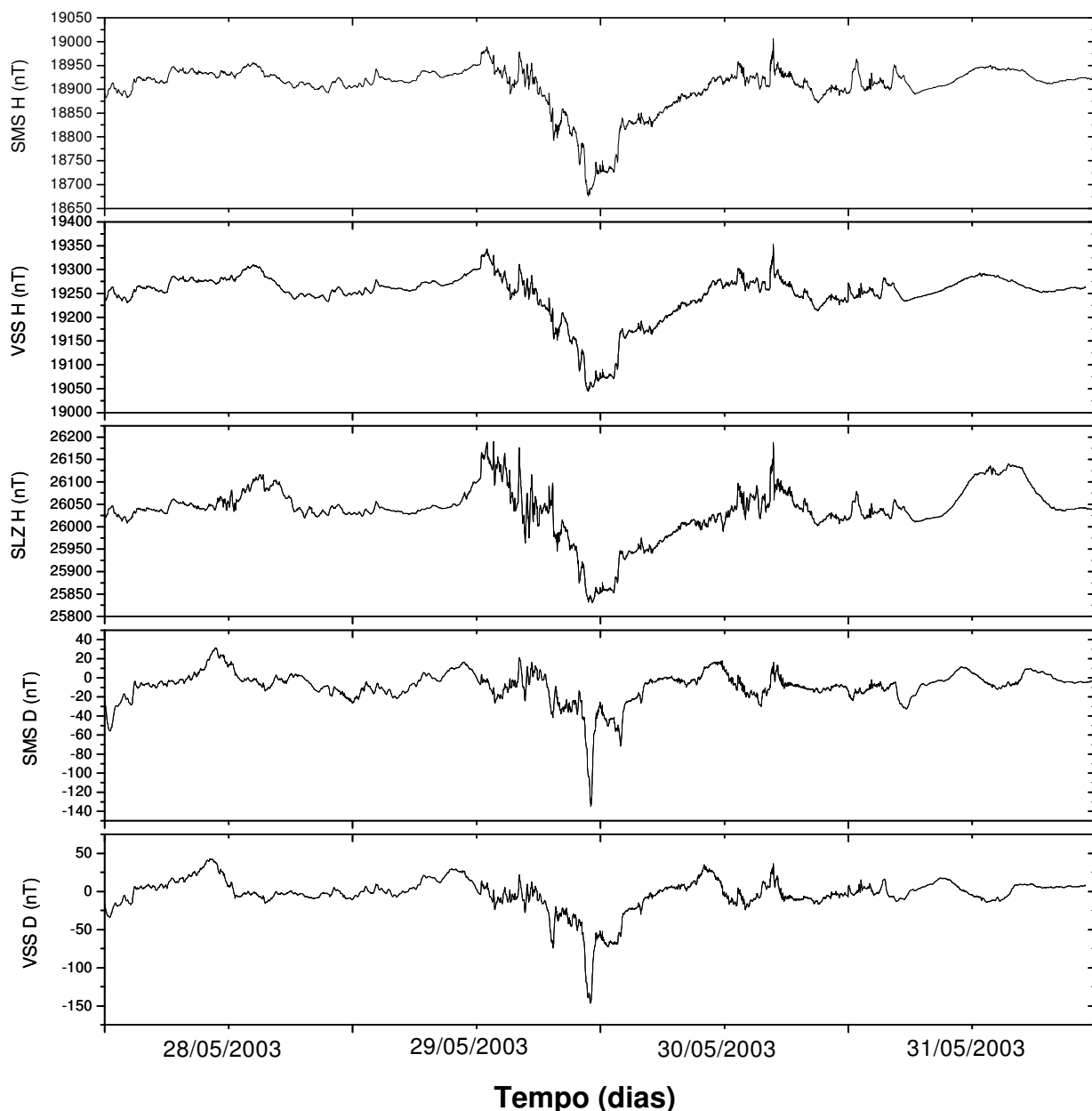




Tempestade Geomagnética ocorrida entre 28 e 31/05/2003



As Figuras a seguir mostram as variações detectadas nas componentes H e D do Campo Geomagnético entre os dias 28 e 31/05/2003, nas estações geomagnéticas de SMS, VSS e SLZ.

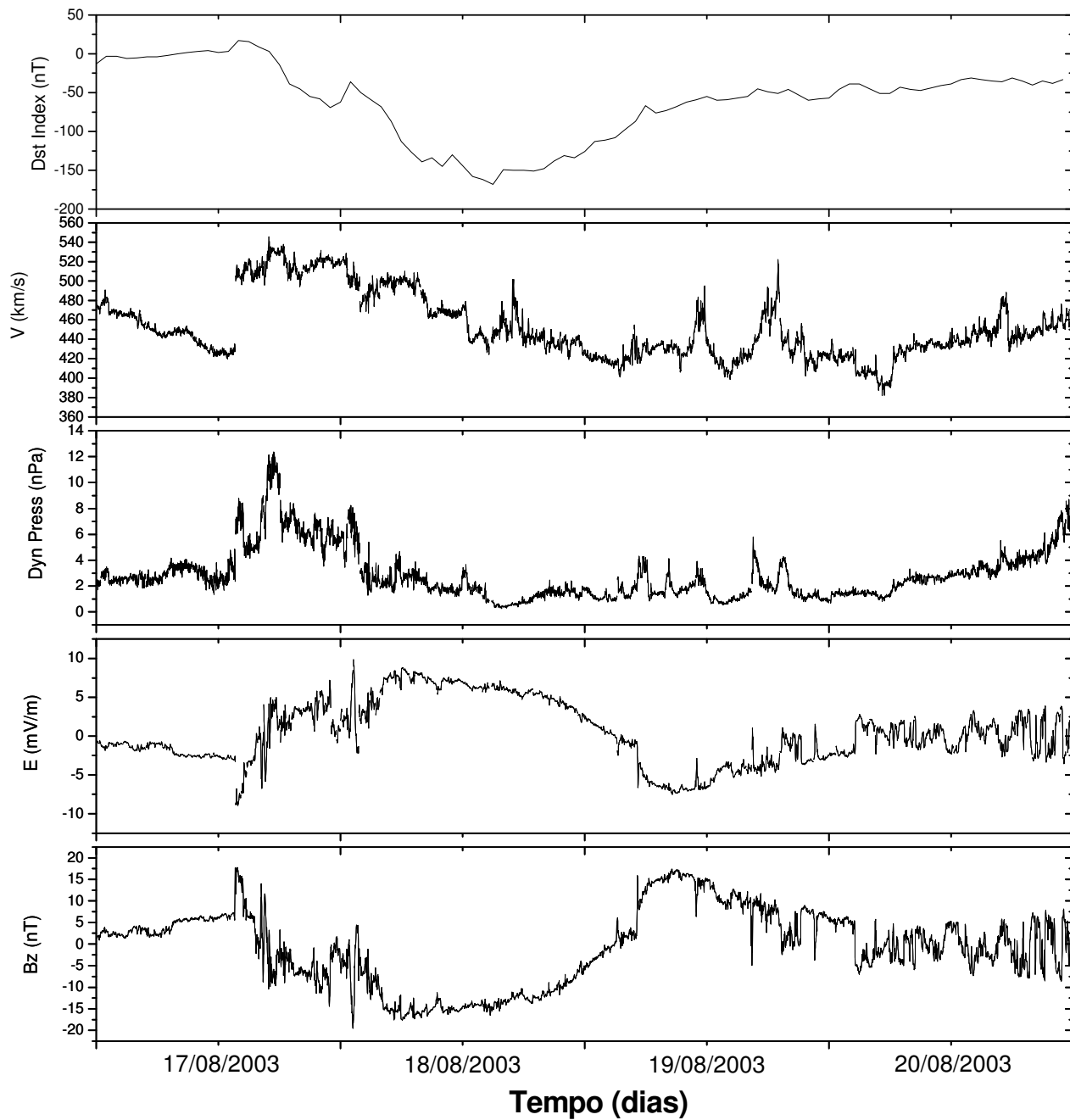




Tempestade Geomagnética ocorrida entre 17 e 20/08/2003



As Figuras a seguir mostram as variações detectadas nos parâmetros do meio interplanetário e no índice Dst entre os dias 17 e 20/08/2003.

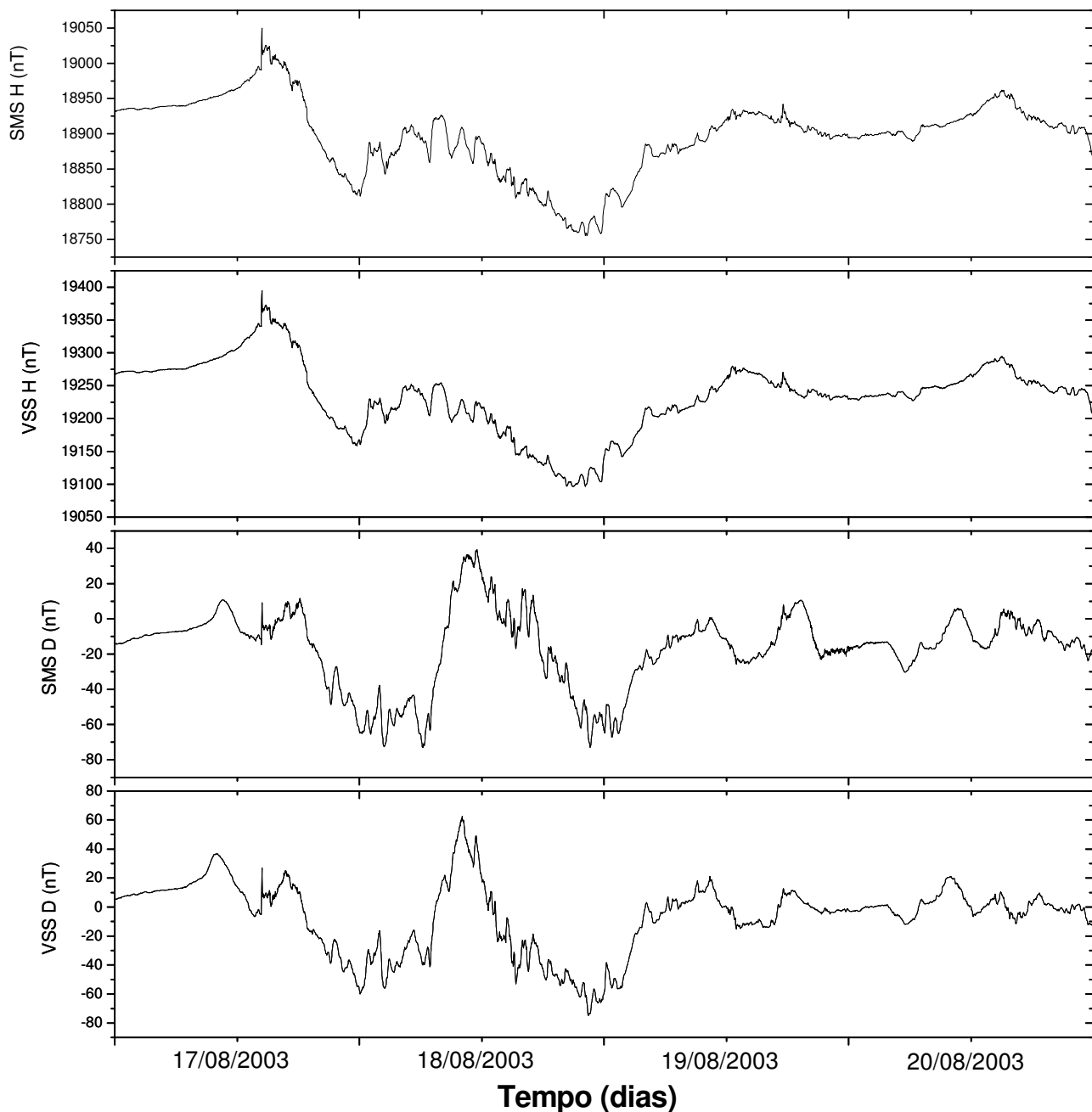




Tempestade Geomagnética ocorrida entre 17 e 20/08/2003



As Figuras a seguir mostram as variações detectadas nas componentes H e D do Campo Geomagnético entre os dias 17 e 20/08/2003, nas estações geomagnéticas de SMS e VSS.

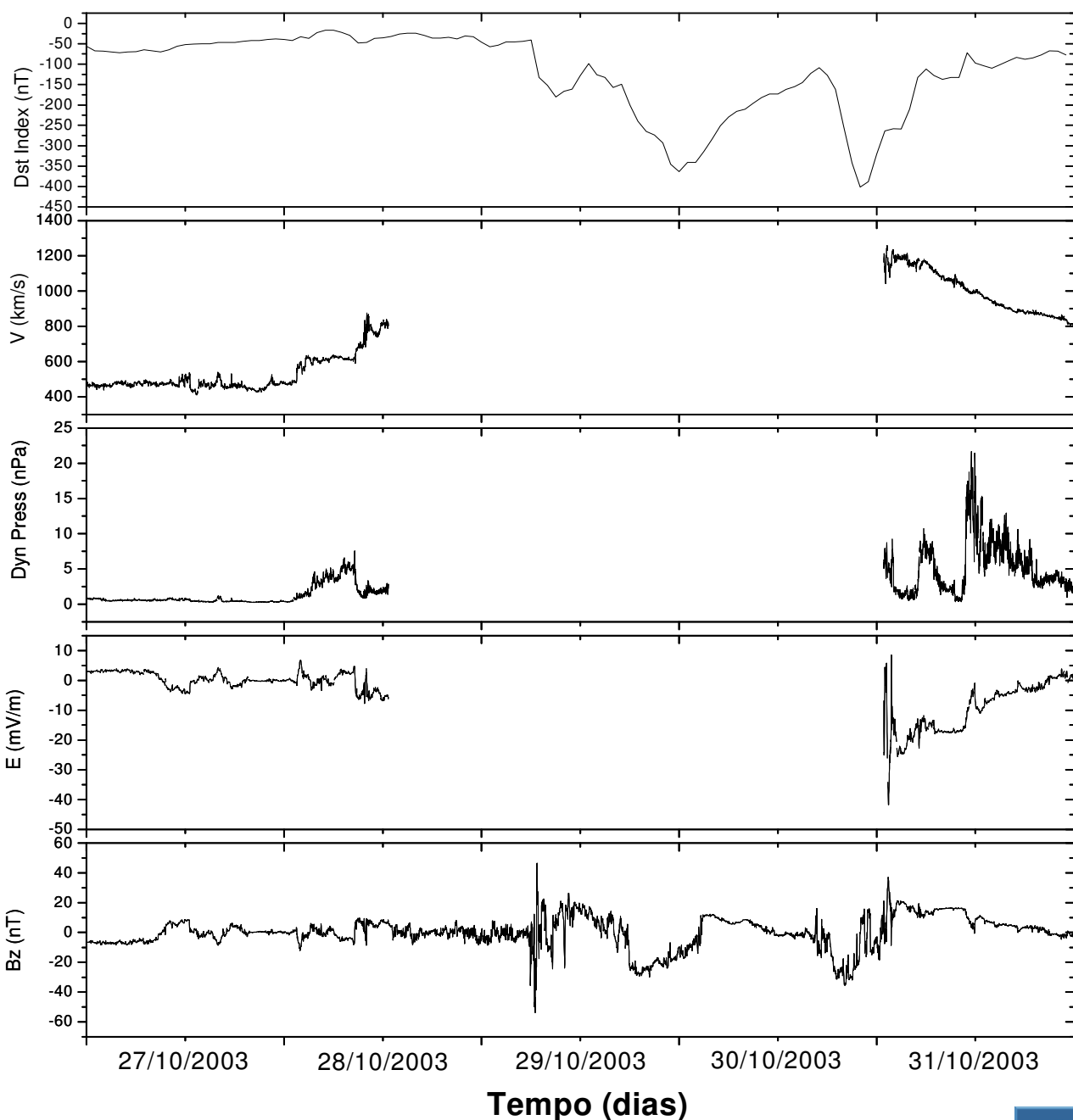




Tempestade Geomagnética ocorrida entre 27 e 31/10/2003



As Figuras a seguir mostram as variações detectadas nos parâmetros do meio interplanetário e no índice Dst entre os dias 27 e 31/10/2003.

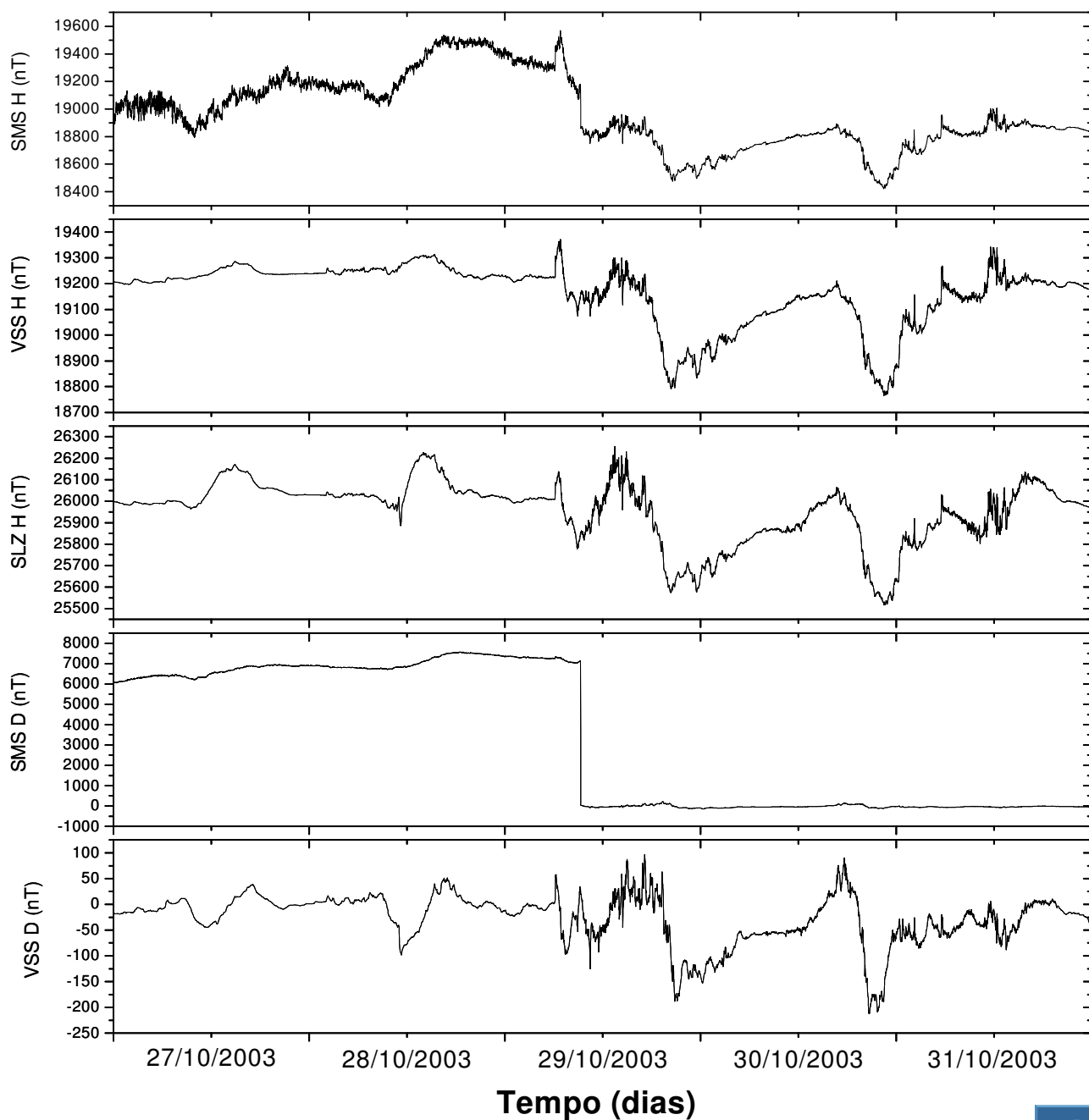




Tempestade Geomagnética ocorrida entre 27 e 31/10/2003



As Figuras a seguir mostram as variações detectadas nas componentes H e D do Campo Geomagnético entre os dias 27 e 31/10/2003, nas estações geomagnéticas de SMS, VSS e SLZ.

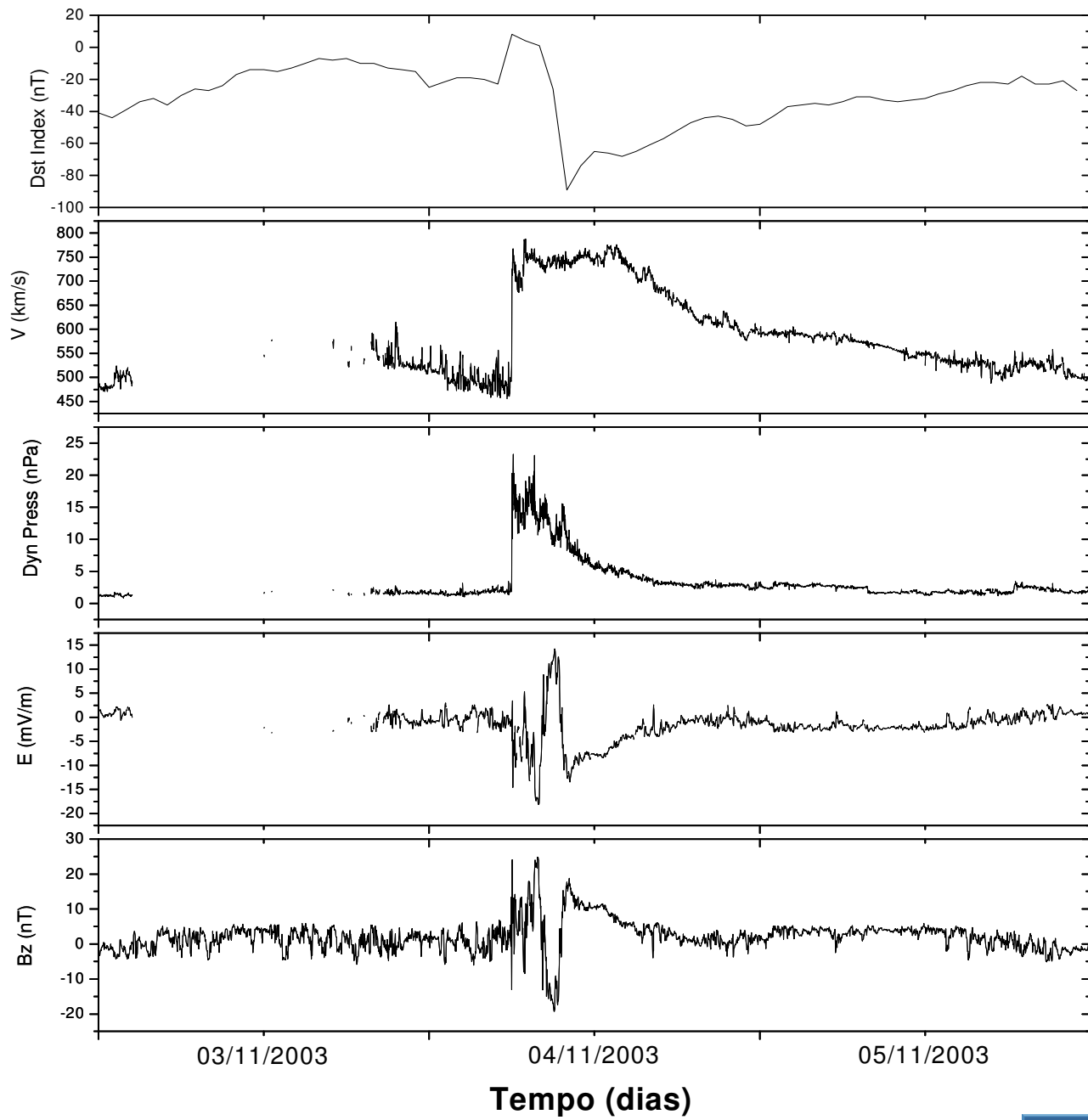




Tempestade Geomagnética ocorrida entre 03 e 05/11/2003



As Figuras a seguir mostram as variações detectadas nos parâmetros do meio interplanetário e no índice Dst entre os dias 03 e 05/11/2003.

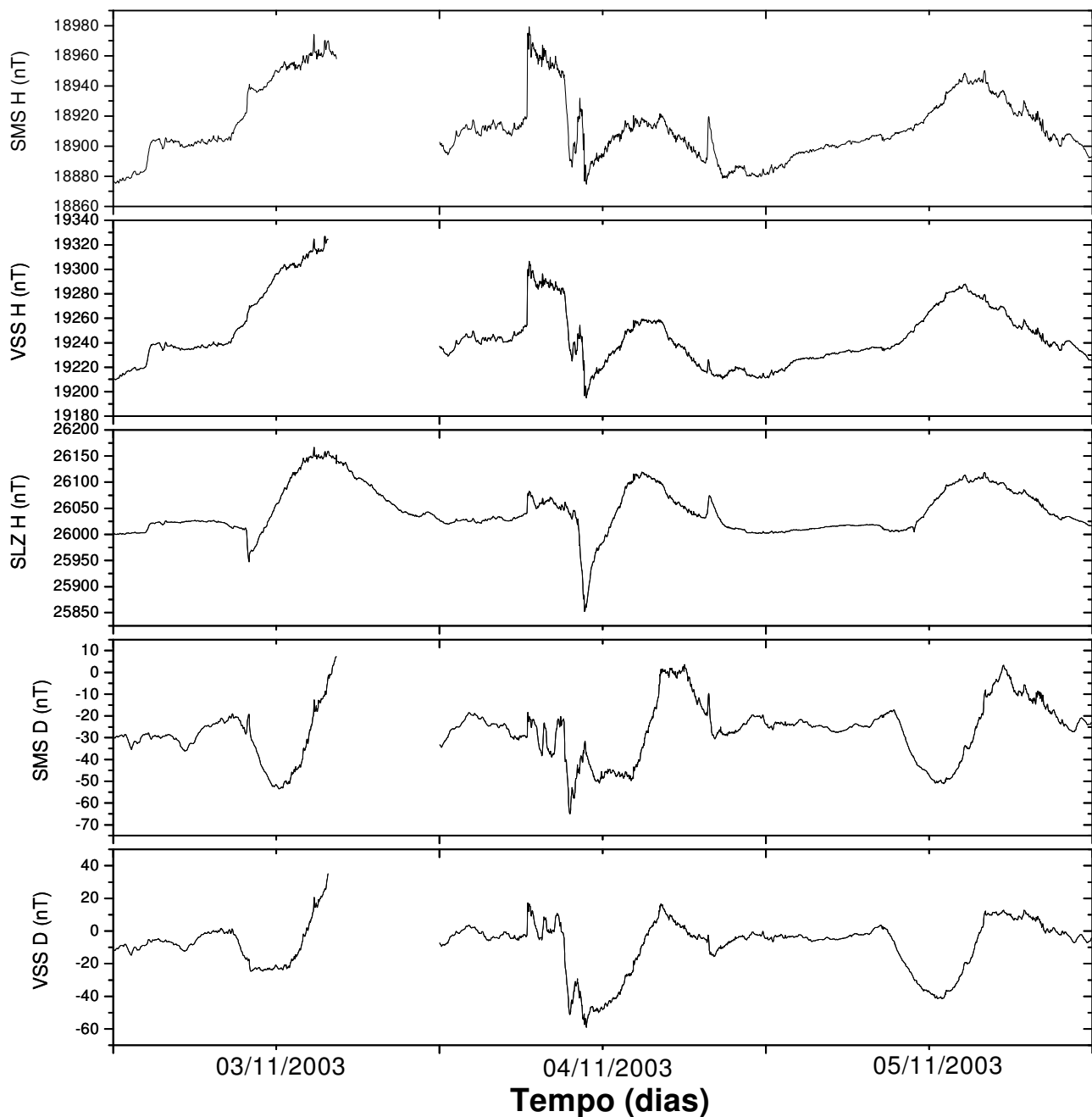




Tempestade Geomagnética ocorrida entre 03 e 05/11/2003



As Figuras a seguir mostram as variações detectadas nas componentes H e D do Campo Geomagnético entre os dias 03 e 05/11/2003, nas estações geomagnéticas de SMS, VSS e SLZ.





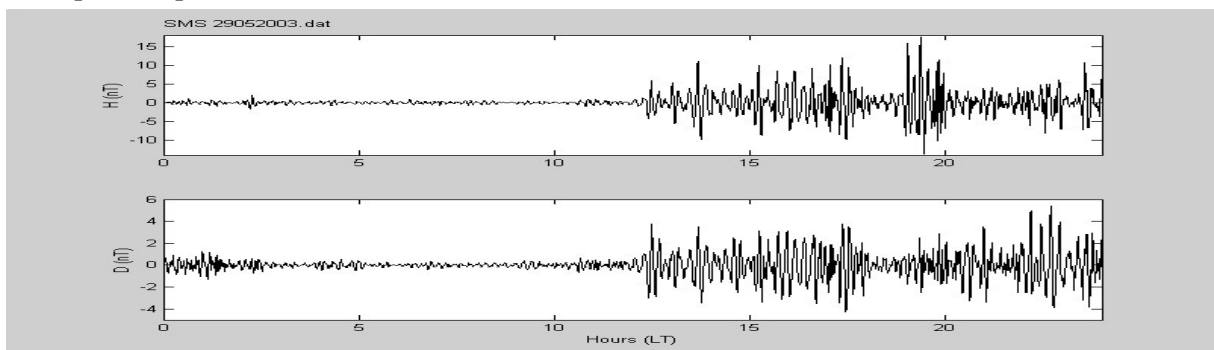
Tempestade Geomagnética

ocorrida entre 28 e 31/05/2003

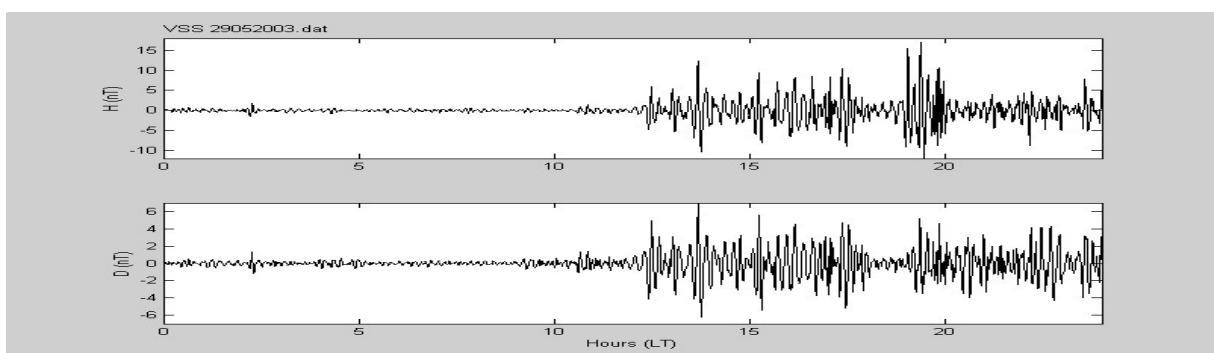


As Figuras a seguir mostram os dados geomagnéticos das componentes H e D, respectivamente, filtrados na faixa de período entre 180 e 900 segundos, para as estações geomagnéticas de SMS, VSS e SLZ para o dia 29/05/2003.

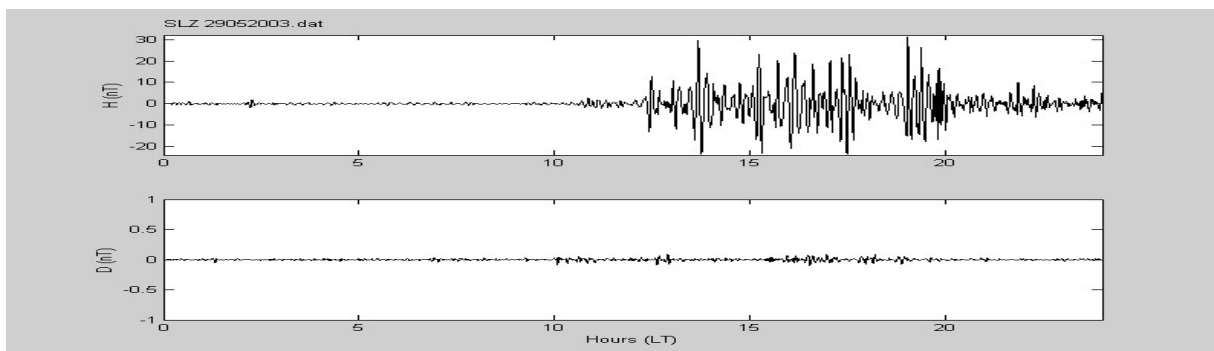
SMS



VSS



SLZ





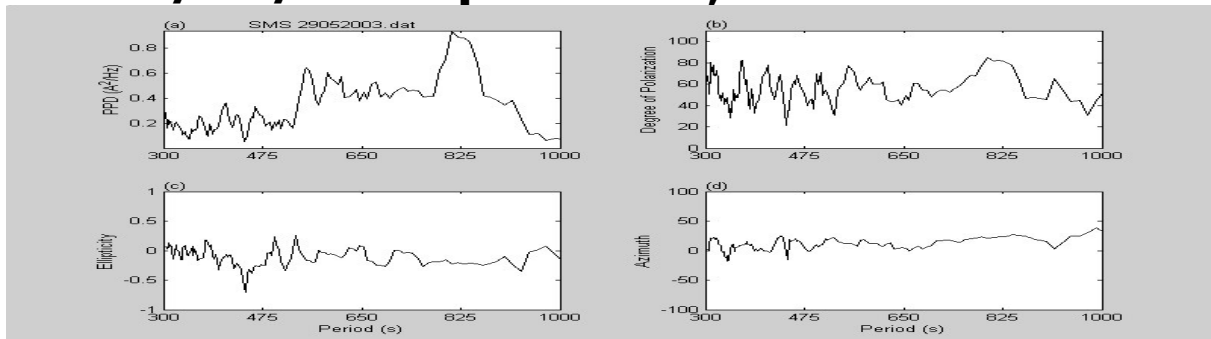
Tempestade Geomagnética

ocorrida entre 28 e 31/05/2003

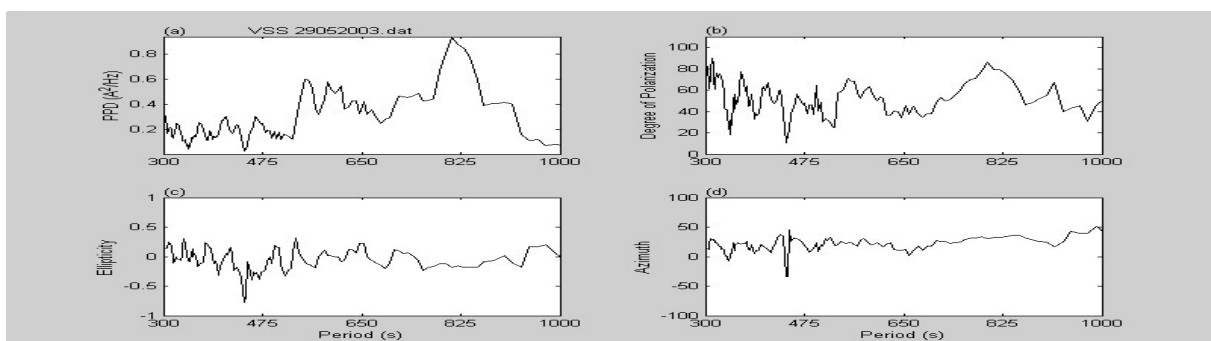


As Figuras a seguir mostram os parâmetros de polarização das ondas eletromagnéticas, potência (PPD), grau de polarização (Degree of Polarization), elipticidade (Ellipticity) e azimute (Azimuth), para o período de atividade mais intensa das pulsações geomagnéticas, entre 11:00 UT e 24:00 UT no dia 29/05/2003 para SMS, VSS e SLZ.

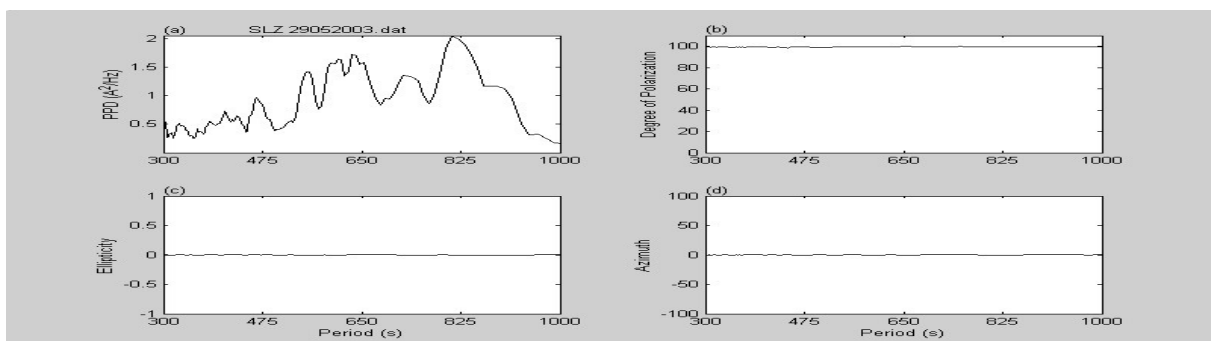
SMS



VSS



SLZ



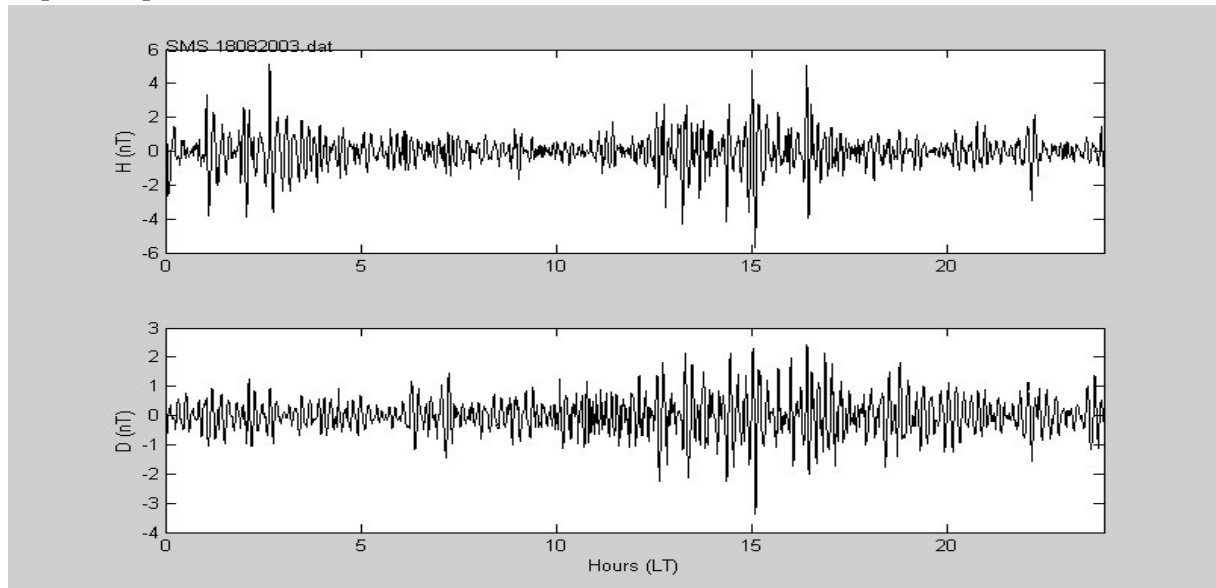


Tempestade Geomagnética ocorrida entre 17 e 20/08/2003

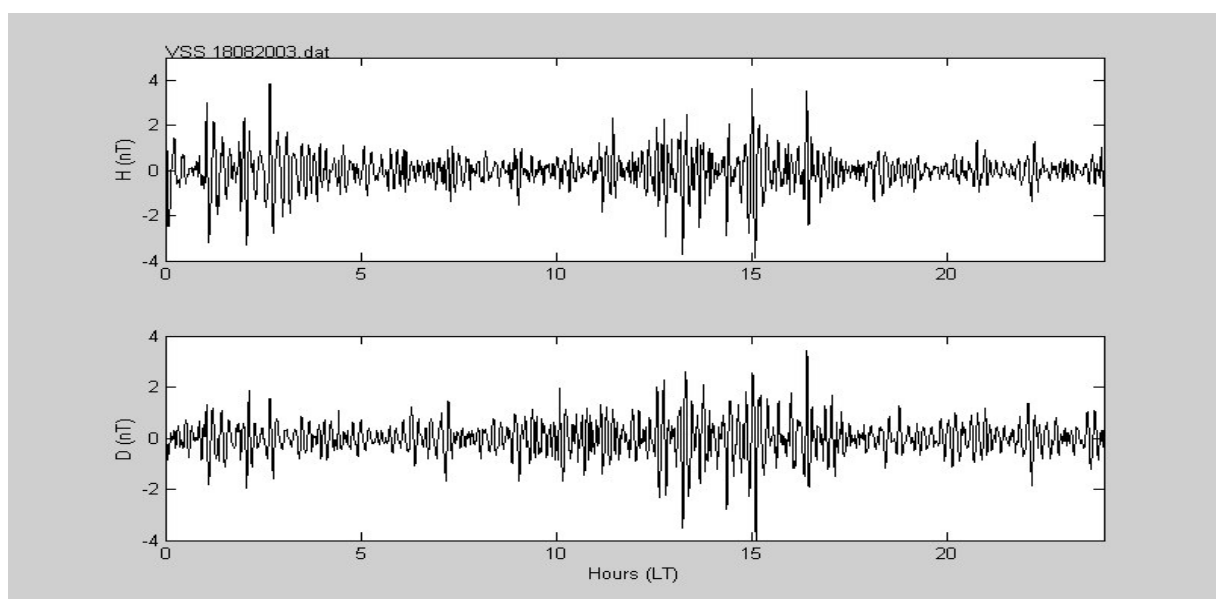


As Figuras a seguir mostram os dados geomagnéticos das componentes H e D, respectivamente, filtrados na faixa de período entre 180 e 900 segundos, para as estações geomagnéticas de SMS e VSS para o dia 18/08/2003.

SMS



VSS



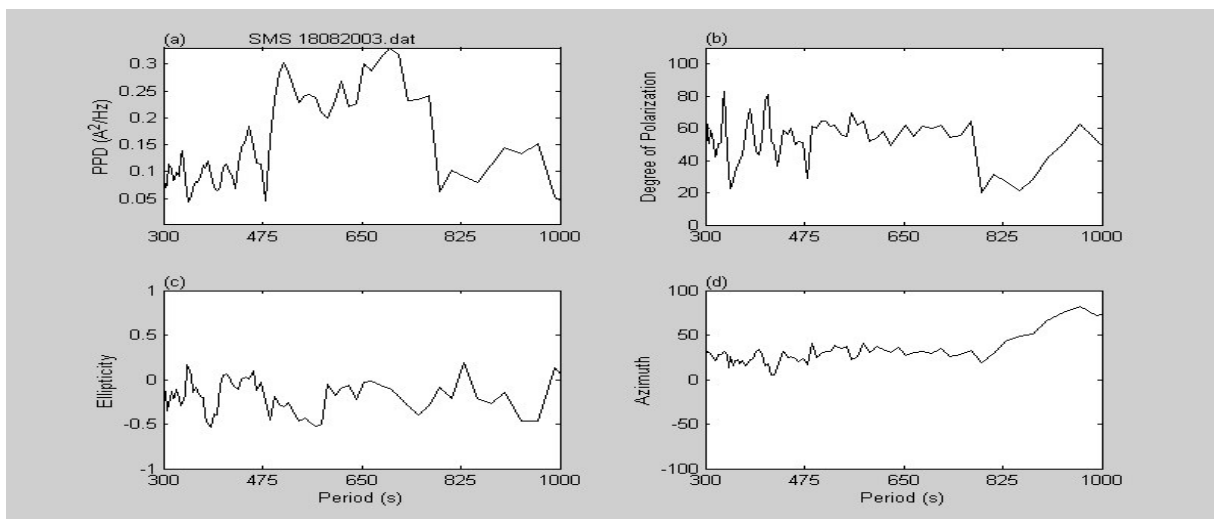


Tempestade Geomagnética ocorrida entre 17 e 20/08/2003

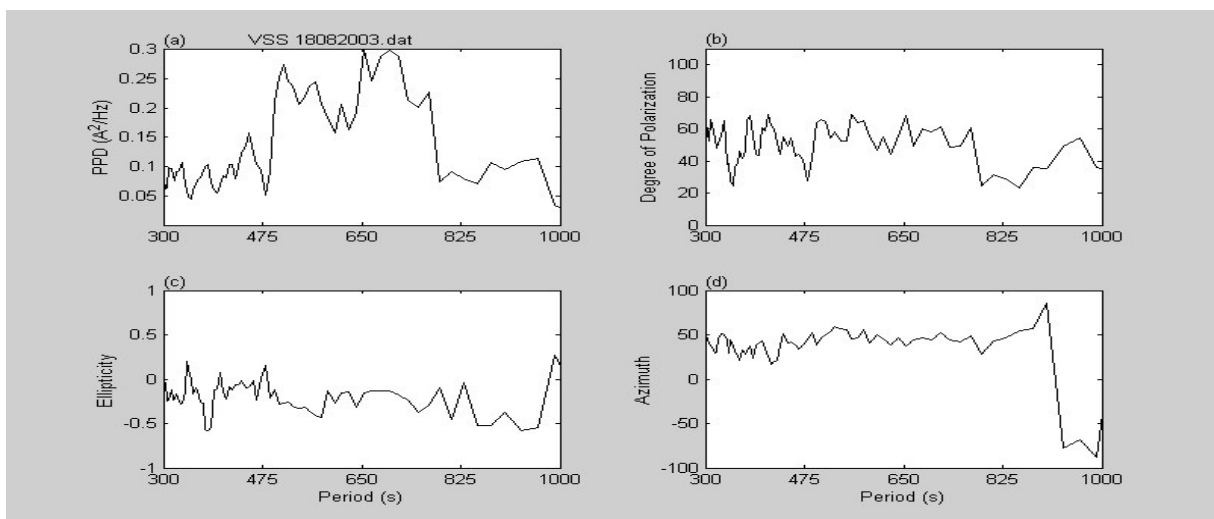


As Figuras a seguir mostram os parâmetros de polarização das ondas eletromagnéticas, potência (PPD), grau de polarização (Degree of Polarization), elipticidade (Ellipticity) e azimute (Azimuth), para o período de atividade mais intensa das pulsações geomagnéticas, entre 11:00 UT e 18:30 UT no dia 18/08/2003 para SMS e VSS.

SMS



VSS





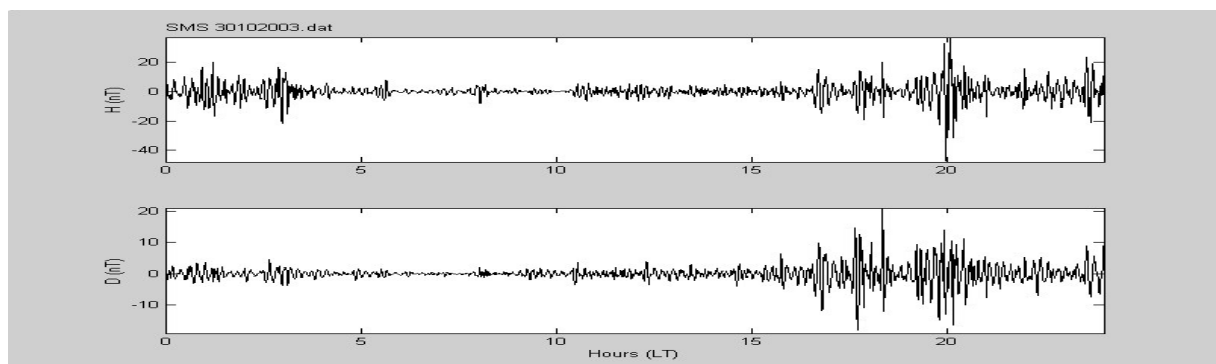
Tempestade Geomagnética

ocorrida entre 27 e 31/10/2003

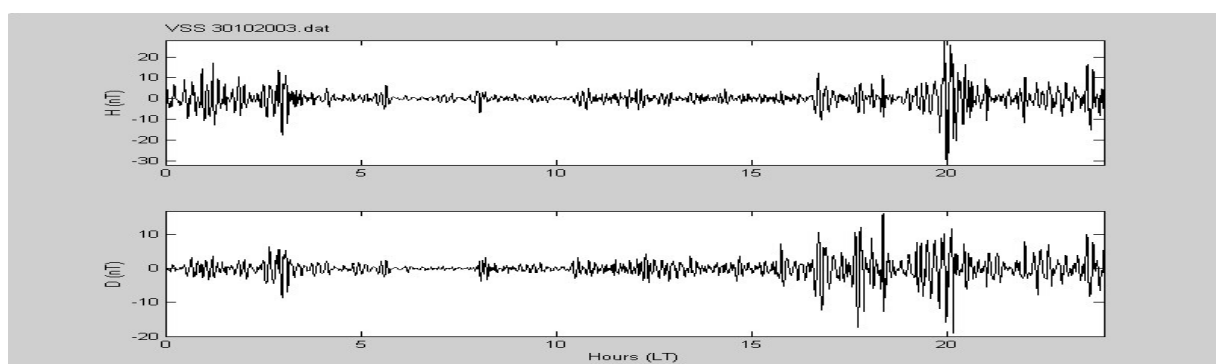


As Figuras a seguir mostram os dados geomagnéticos das componentes H e D, respectivamente, filtrados na faixa de período entre 180 e 900 segundos, para as estações geomagnéticas de SMS, VSS e SLZ para o dia 30/10/2003.

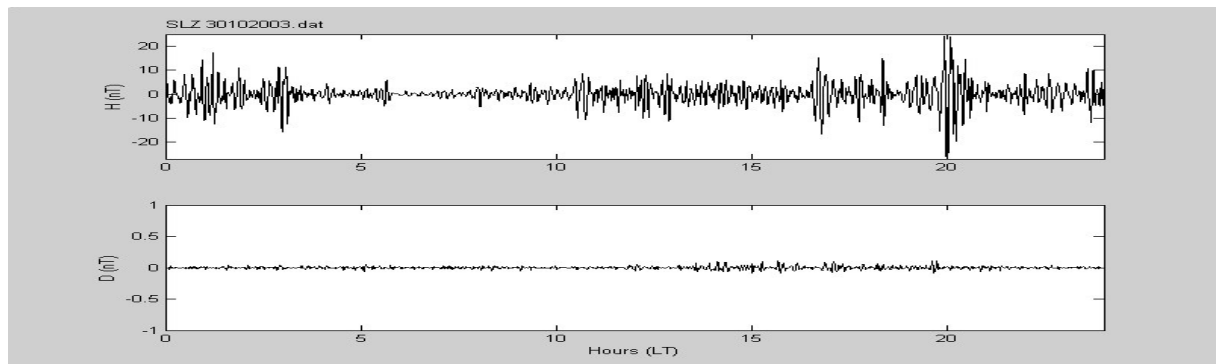
SMS



VSS



SLZ



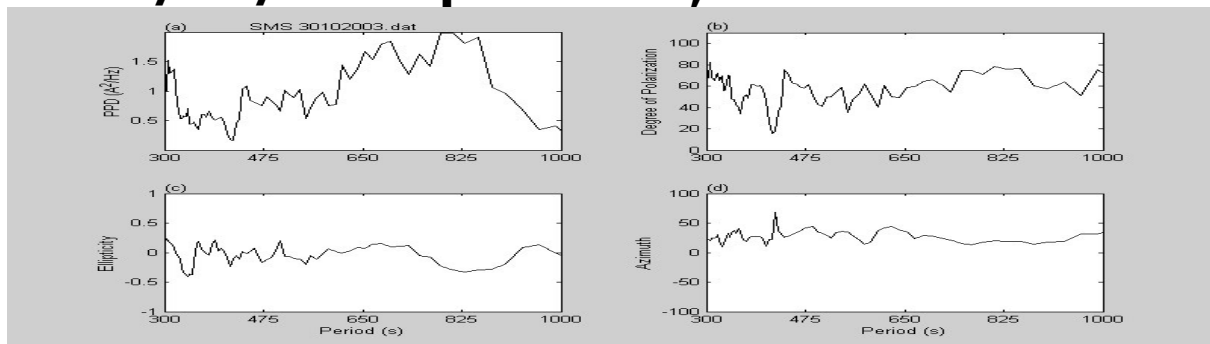


Tempestade Geomagnética ocorrida entre 27 e 31/10/2003

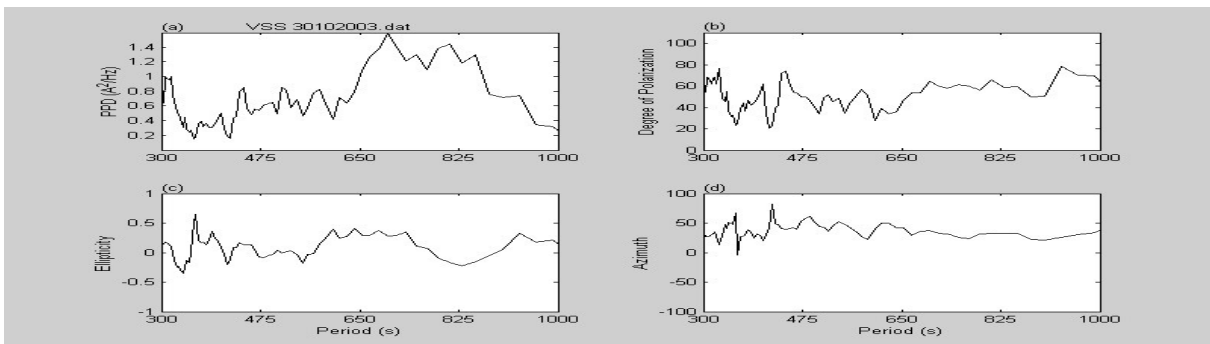


As Figuras a seguir mostram os parâmetros de polarização das ondas eletromagnéticas, potência (PPD), grau de polarização (Degree of Polarization), elipticidade (Ellipticity) e azimute (Azimuth), para o período de atividade mais intensa das pulsações geomagnéticas, entre 16:00 UT e 24:00 UT no dia 30/10/2003 para SMS, VSS e SLZ.

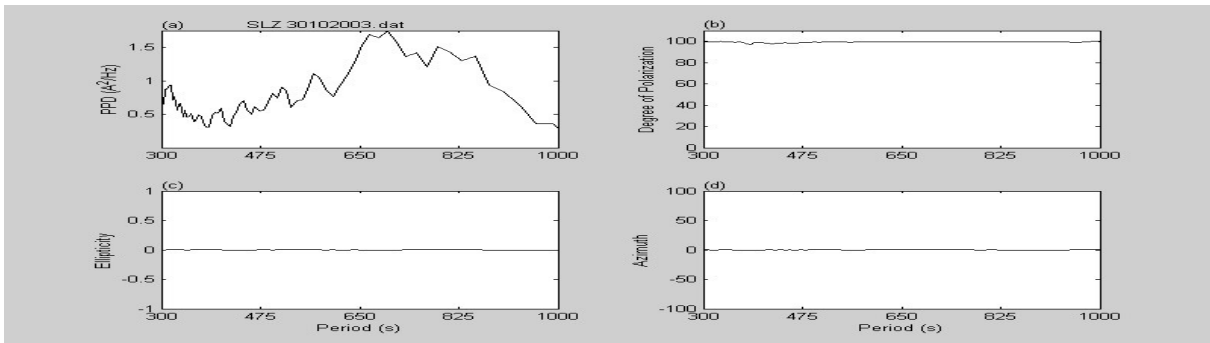
SMS



VSS



SLZ





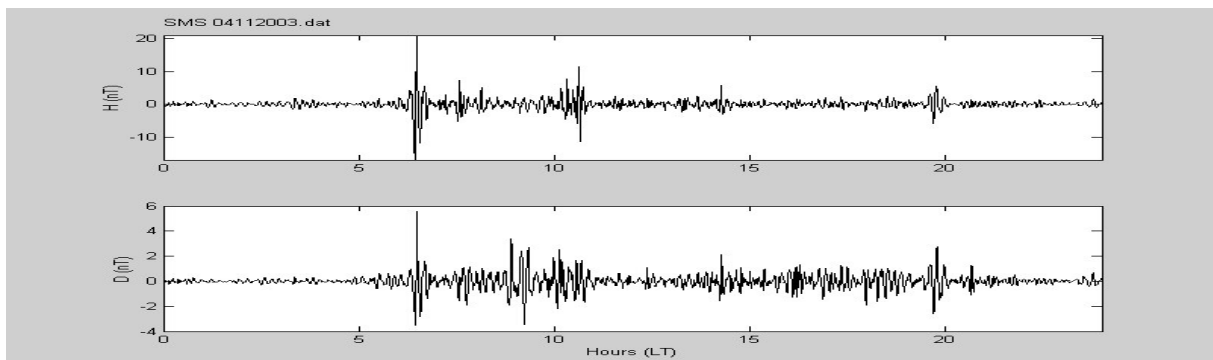
Tempestade Geomagnética

ocorrida entre 03 e 05/11/2003

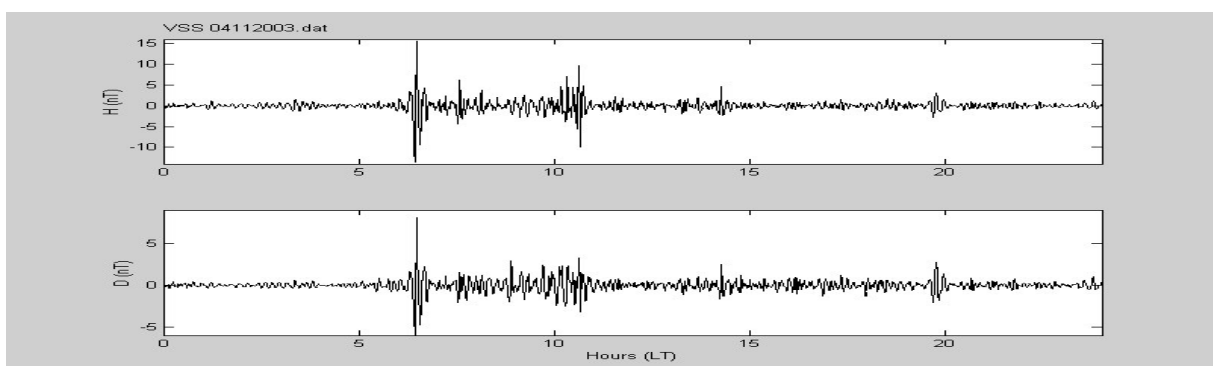


As Figuras a seguir mostram os dados geomagnéticos das componentes H e D, respectivamente, filtrados na faixa de período entre 180 e 900 segundos, para as estações geomagnéticas de SMS, VSS e SLZ para o dia 04/11/2003.

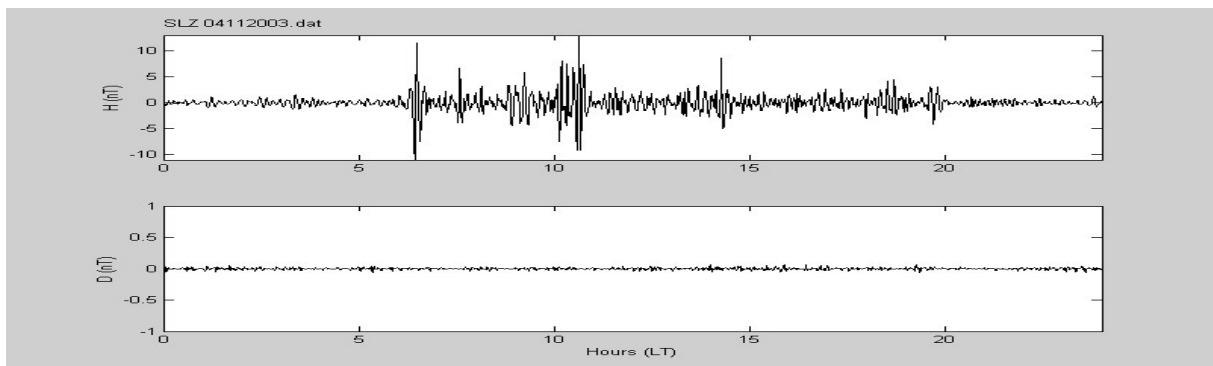
SMS



VSS



SLZ

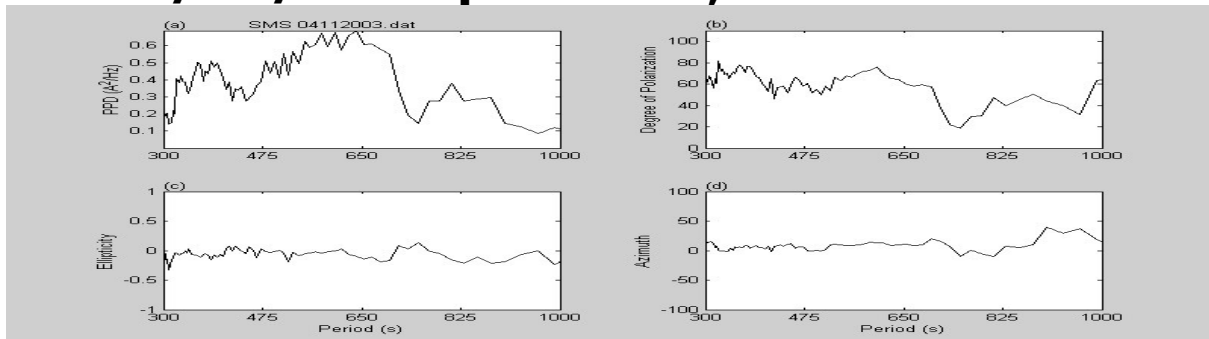


Tempestade Geomagnética

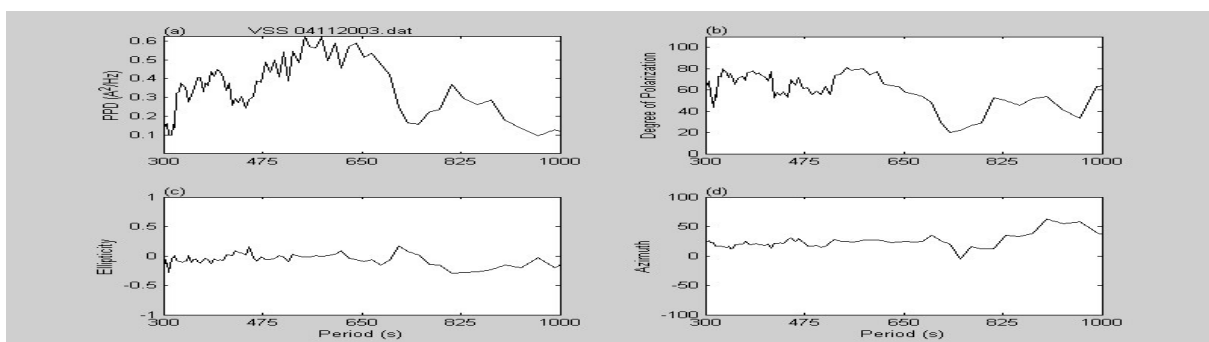
ocorrida entre 03 e 05/11/2003

As Figuras a seguir mostram os parâmetros de polarização das ondas eletromagnéticas, potência (PPD), grau de polarização (Degree of Polarization), elipticidade (Ellipticity) e azimute (Azimuth), para o período de atividade mais intensa das pulsações geomagnéticas, entre 06:00 UT e 12:00 UT no dia 04/11/2003 para SMS, VSS e SLZ.

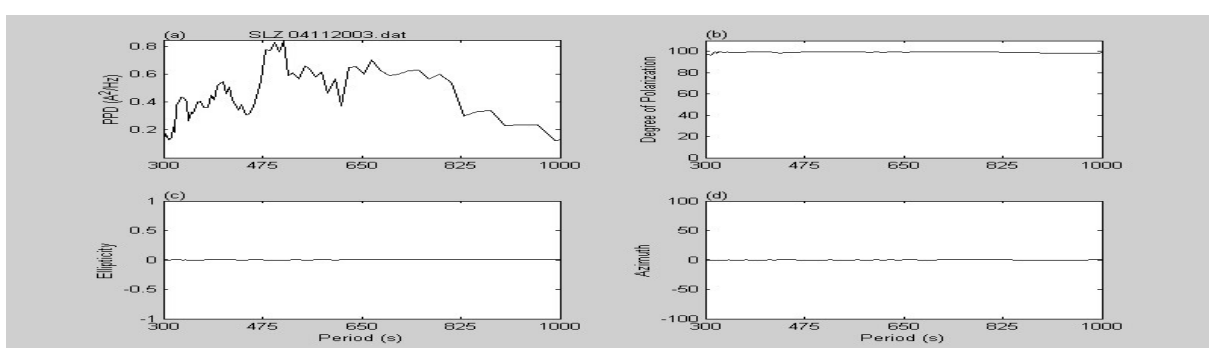
SMS



VSS



SLZ



Conclusões

- Verifica-se uma correlação existente entre as variações detectadas nos parâmetros do plasma solar no meio interplanetário e as variações geomagnéticas detectadas na superfície terrestre.
- A fase inicial da tempestade geomagnética é caracterizada por um aumento súbito na pressão dinâmica e velocidade do vento solar.
- A fase principal é caracterizada pelo decréscimo no valor do parâmetro Bz e aumento no valor do parâmetro E, que indica a reconexão do campo magnético interplanetário com o campo magnético terrestre, o que facilita a entrada das partículas emitidas pelo Sol em direção a Terra.
- A fase de recuperação é caracterizada pelo retorno dos parâmetros do meio interplanetário aos seus valores normais observados antes do inicio da tempestade.
- A análise espectral e dos parâmetros de polarização mostra a ocorrência de pulsações geomagnéticas Pc5 e Pc6 e suas características nas latitudes baixas